

بررسی ترمیم‌پذیری سازه‌های تقویت شده با ورقه‌های کامپوزیتی CFRP

ابراهیم زمانی بیدختی (دانشجوی دکتری)
گروه مهندسی عمران، دانشگاه فردوسی مشهد

هاشم شویتمدار* (دانشیار)
دانشکده‌ی مهندسی عمران، دانشگاه فردوسی، مشهد

مهندسي عمران شرقي، (زمستان ۱۳۹۶) ۷۸-۹۷
دورى ۲ - ۳، شماره ۲/۴، ص.

در نوشتار حاضر، اتصالات خارجی تیر به ستون بتی تحت اثر بارهای چرخه‌بی آزمایش شده‌اند. پس از ایجاد آسیب اولیه در نمونه‌ها، تقویت با ورقه‌های FRP انجام و اتصالات مجددآ آزمایش شدند. سپس اتصال مینا و اتصالات تقویت شده با استفاده از نرم‌افزار Opensees مدل‌سازی و نتایج با رفتار آزمایشگاهی آنها مقایسه شده است. سپس یک قاب ۳ طبقه مدل‌سازی شده و روند ایجاد آسیب تحت اثر تحلیل با افزون بررسی و با توجه به شدت آسیب، قاب‌ها مشابه روند آزمایش مقام‌سازی شدند. در انتها، قاب‌ها تحلیل غیرخطی تاریخچه‌ی زمانی شدند و اندیس خسارت پارک و انگ به دست آمد. با توجه به نتایج، سطح ترمیم‌پذیری سیستم قاب خشکی تقویت شده با ورقه‌های FRP معادل سطحی است که تمامی تیرها در سطح عملکرد آستانه‌ی فروریزش قرار گیرند. با بررسی پاسخ دینامیکی قاب‌ها و محاسبه‌ی اندیس خسارت پارک، سطح ترمیم‌پذیر برای قاب مورد مطالعه در دریفت طبقه‌ی ۱۰٪ /۱۰٪ ایجاد می‌شود.

واژگان کلیدی: اتصالات خارجی بتی، مقام‌سازی، ورقه‌های FRP، سطح عملکرد، تحلیل غیرخطی.

zamani.eb@shahroodut.ac.ir
shariat.madar@um.ac.ir

۱. مقدمه

انرژی را نشان دادند.^[۱۱] در مطالعات دیگری،^[۱۲-۱۳] بیز اتصالات آسیب‌دیده ترمیم و مقام‌سازی شده‌اند. در بسیاری از مطالعات مذکور، اتصالات با ضعف برشی و بتی مقاومت باین جهت نمایش بهتر تأثیر ورقه‌های FRP استفاده شدند. در مطالعات پیشین به مدل‌سازی سازه‌های آسیب‌دیده کمتر توجه شده است. لذا این کار در نوشتار حاضر پس از تأیید نتایج مدل‌سازی اتصالات بتی با نتایج آزمایش اتصالات انجام شده است، به طوری که ابتدا رفتار آزمایشگاهی اتصالات خارجی بتی در آرمه‌ی تقویت شده با ورقه‌های FRP با نتایج حاصل از مدل‌سازی با نرم‌افزار Opensees مقایسه شده است. سپس یک قاب دو بعدی در حالت بدون آسیب و نیز در حالت آسیب دیده به شدت‌های مختلف مدل‌سازی شده است. مدل‌سازی مذکور، میزان توانایی اتصالات را توسط سیستم تقویت نصب FRP روی سطح (EBR) در جبران خسارت قاب‌های آسیب دیده نشان می‌دهد.

۲. آزمایش اتصالات تیر به ستون بتی

در بخش آزمایشگاهی پژوهش حاضر، عدد اتصال خارجی تیر به ستون مشابه با ابعاد و آرمانورگذاری نشان داده شده در شکل (۱الف) ساخته شد و تحت بارگذاری چرخه‌بی اولیه قرار گرفت.^[۱۷] اتصال موردنظر به عنوان بخشی از یک قاب

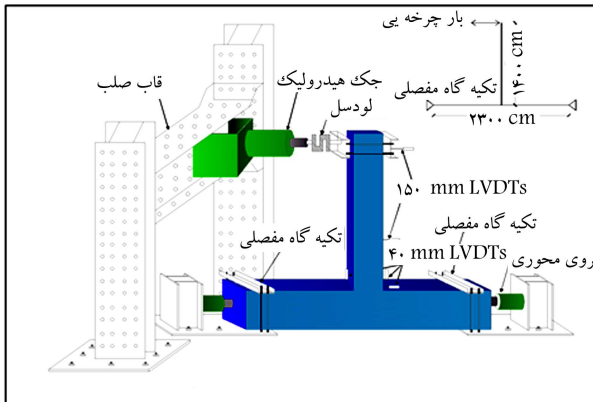
تقویت اتصالات بتی آرمه، سهم محدودی از مطالعات آزمایشگاهی و تحلیلی را در میان اجزاء سازه در بر می‌گیرد. در این میان، بیشترین تلاش پژوهشگران در راستای آزمایش و مدل‌سازی اثر تقویت خشکی FRP در تیرهای بتی آرمه متمرکز شده است.^[۱-۸] در سال ۱۹۹۸، در بررسی پارامتری استفاده از لایه‌های تقویت FRP روی سطح کششی تیر اتصال با یا بدون استفاده از مهار دور پیچ، این نتیجه به دست آمد که نوع و چیزی ایاف مورد استفاده می‌تواند تأثیر زیادی در عملکرد سازه‌بی داشته باشد.^[۹] همچنین در سال ۲۰۰۶، یک مدل اجزاء محدود جهت تحلیل غیرخطی اتصالات تقویت شده با FRP توسعه داده شد و در آن، لغزش و کشیدگی آرمانور وارد شده به هسته‌ی اتصال در محاسبه‌ی ظرفیت برشی و لنگر اتصال به حساب آورده شد.^[۱۰] در سال ۲۰۱۵، نیز اثر تعییه‌ی شیارهای سطحی در شکل‌بندی اتصالات بتی ضعیف تقویت شده با ورقه‌های کامپوزیتی CFRP بررسی شد و نتایج آزمایش‌ها نشان داد که استفاده از شیارهای سطحی در چشممه‌ی اتصال، سبب به تأخیر افتادن پدیده‌ی جداشگری ورق‌ها و بهبود شاخص‌های لرزه‌بی اتصال می‌شود.^[۱۱]

همچنین در سال ۲۰۰۳، اتصالات خارجی با شیوه‌های مختلف از جمله ورق و نوارهای FRP از نوع شیشه و کربن، تقویت و مقایسه شدند. اتصالات آسیب دیده نیز تقویت شدند و نتایج، کاهش ۴۰ و ۱۵ درصدی به ترتیب در مقاومت و استهلاک

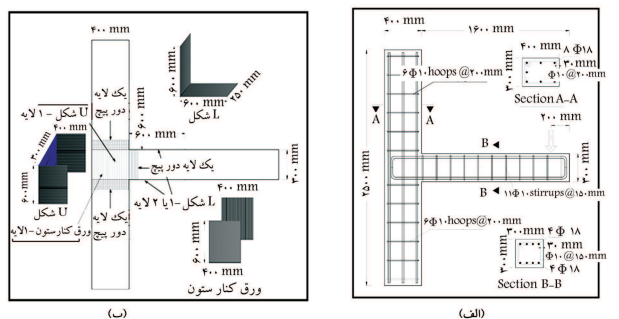
* نویسنده مسئول
تاریخ: دریافت ۲۲، ۱۳۹۴/۹/۱، اصلاحیه ۲۵، ۱۳۹۵/۲، پذیرش ۳۰، ۱۳۹۵/۳/۳.

جدول ۱. خسارت اولیه و تعداد لایه‌های FRP به کار رفته در سیستم تقویت.

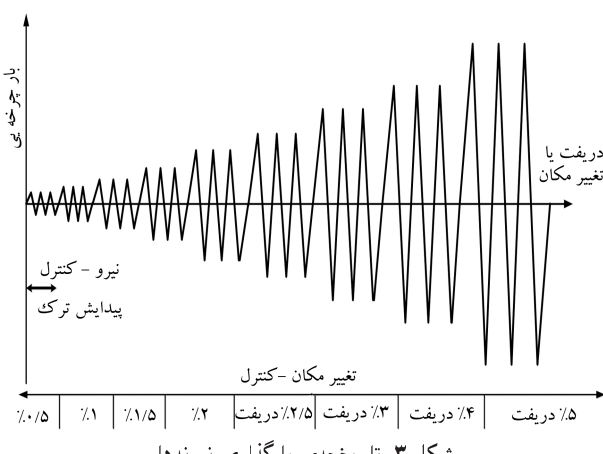
نام نمونه	دریفت (%)	خسارت اولیه	تعداد لایه‌های FRP		
			L شکل تیر	U شکل ستون	موازی محور ستون
NS5	۰	۰	-	-	-
NS1R	(-۱۳), (+۱۴)	تکیه گاه چرخه‌یی	۱	۱	۱
NS2R	(-۲۰, ۲), (+۲۰, ۸)	تکیه گاه مفصلی	۱/۵	۱	۱
NS3R	(-۴۲), (+۴۴)	تکیه گاه مفصلی	۳	۱	۲
NS5R	(-۷۱, ۳), (+۷۱, ۲)	تکیه گاه مفصلی	۵	۱	۲



شکل ۲. نحوه آزمایش و شرایط تکیه‌گاهی نمونه.



شکل ۱. جزئیات میلگرد‌ها و چیدمان ورقه‌های تقویتی نمونه‌ها.

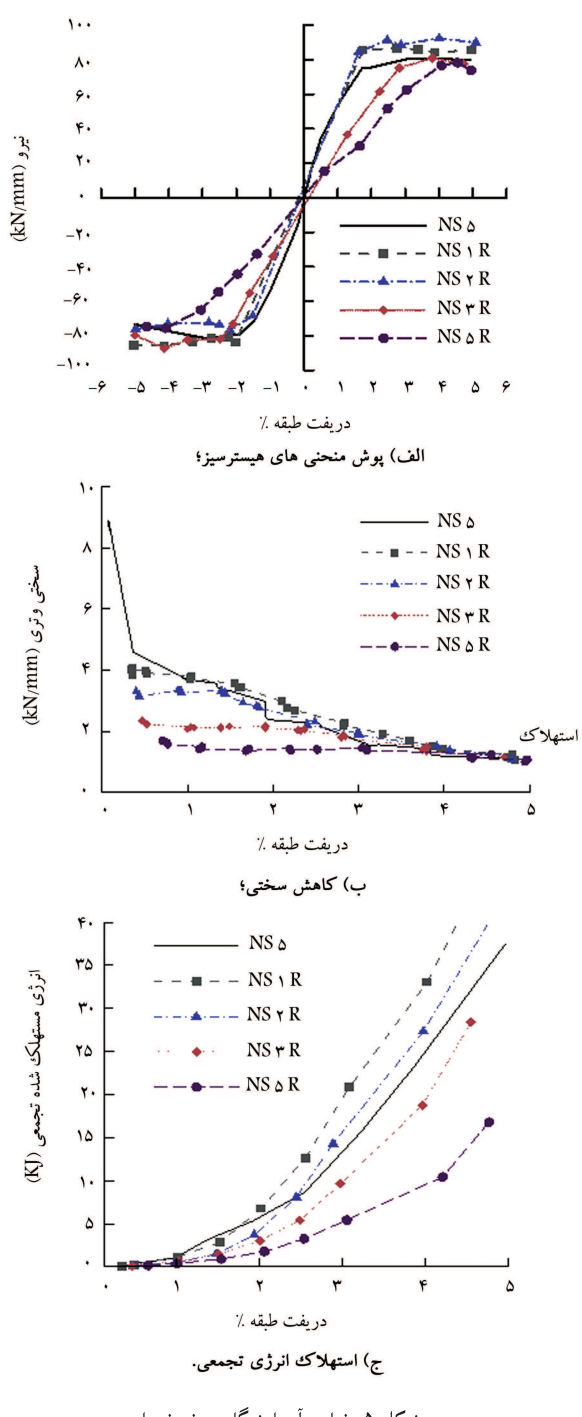


شکل ۳. تاریخچه بارگذاری نمونه‌ها.

شده است. بارگذاری در دو مرحله، ابتدا به صورت کنترل بار و سپس به صورت کنترل تغییر مکان انجام شد. همچنین بار محوری 10^0 kN روی ستون به طور ثابت وارد شد. نمونه NS5 به عنوان نمونه مبنای آزمایش به شمار می‌رود. شکل (۴) توزیع ترک‌ها را در نمونه NS5 نشان می‌دهد. همان‌طور که مشاهده می‌شود، بدلیل نبود آرماتورهای عرضی محصورکننده اتصال و همچنین خاموت ویژه در ناحیه بحرانی تیر و ستون، ترک‌های قطري در ناحیه اتصال رشد کرده و در ناحیه بحرانی تیر متتمرکز شده است. شکل (۴) (ب) الگوی گسیختگی نمونه‌های تقویت شده را نشان می‌دهد. نمونه NS1R به خوبی توانست تا دریفت ۵٪ بدون هیچ‌گونه گسیختگی لایه‌های FRP ظرفیت برابری را به طور میانگین تا ۵٪ نسبت به نمونه NS5 افزایش دهد و در نمونه NS2R تا ۳٪ افزایش مشاهده شد. در نمونه NS2R در دریفت ۳٪، لایه L شکل روی تیر

که ستون‌های آن در وسط ارتفاع طبقه و تیر آن در میانه دهانه قطع شده‌اند، انتخاب شد. نقاط قطع شده در حقیقت نقاط عطف منحنی لنگر تحت بارگذاری جانبی قاب هستند. همان‌طور که در شکل (۱) (الف) ملاحظه می‌شود، اتصالات آزمایش شده قادر جزئیات لرزه‌یی از قبیل میلگردهای محصورکننده اتصال و نواحی بحرانی تیر و ستون هستند. پس از ایجاد خسارت اولیه در اتصالات، به شرحی که در ادامه ارائه شده است، اتصالات توسط ورقه‌های FRP مطابق شکل (۱) (ب) و به شرح جدول ۱ تقویت شده و دوباره تأثیر می‌گیرند. در نهایت تیر بارگذاری چرخه‌یی فرارگرفته‌اند. طراحی تقویت خمی و برشی اتصال براساس آین نامه ACI ۴۰۰ R-۰۸ انجام شده است. [۱۸] این کار توسط ورقه‌ای روی ستون و L شکل‌های روی تیر به نحوی انجام شده است که بیشترین امکان اجرا را داشته باشد. همچنین دوربین‌های روی تیر و ستون جهت جلوگیری از جداشدن ورق از سطح بتن استفاده شده است. خسارت اولیه در اتصالات به گونه‌یی انجام شده است که سطوح عملکرد از پیش تعیین شده قبل از تقویت در اتصالات بوجود آید. سطوح عملکرد انتخابی براساس آین نامه FEMA-۳۵۶ [۱۹] و دستورالعمل بهسازی لرزه‌یی ساختمان‌های موجود (نشریه‌ی ۳۶۰)، [۲۰] به عنوان سطح قابلیت استفاده‌ی بی‌وقه (IO)، اینمی جانی (LS) و آستانه‌ی فروریش (CP) تعیین شدند. براساس جدول ۱، نمونه NS5 به عزان نمونه میانی بدون تقویت تا ۰.۵٪ دریفت طبقه بارگذاری شد. خسارت اولیه به صورت بارگذاری چرخه‌یی در نمونه‌های NS1R، NS2R، NS3R و NS5R و به ترتیب تا ۰.۱٪، ۰.۳٪ و ۰.۵٪ انجام شد. سپس نمونه‌های مذکور تقویت و مجدد شده دریفت ۵٪ بارگذاری شدند.

شرایط تکیه‌گاهی اتصال آزمایش شده در شکل ۲ نشان داده شده است. گفتنی است که جهت سهولت انجام آزمایش، اتصال ۹۰ درجه چرخش یافت، به طوری که بارگذاری در انتهای تیر به صورت افقی انجام شد. در نوشтар حاضر، از تعریف تغییر مکان نسبی طبقه (دریفت طبقه) به صورت نسبت تغییر مکان انتهای تیر که بارگذاری در آن نقطه انجام می‌شود، به طول تیر تا بر ستون استفاده شده است. تاریخچه بارگذاری چرخه‌یی نمونه‌ها تا دریفت ۵٪ در شکل ۳ نشان داده

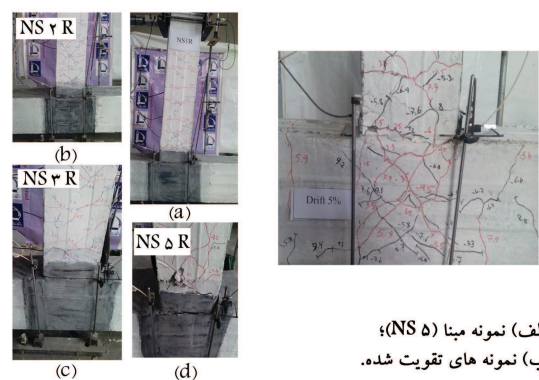


شکل ۵. نتایج آزمایشگاهی نمونه ها.

خسارت به سبب کاهش شکل پذیری و ظرفیت استهلاک انرژی را دارد و همچنین سختی کاهش یافته در باربرداری را در نظر می‌گیرد.

نقاط S و e بر روی نمودار ییانگر تنش و کرنش فولاد است. توان جهت

کاهش سختی باربرداری و PinchY و PinchX جهت ایجاد پیچنگ در طول باربرداری استفاده می‌شوند. پارامترهای به کار رفته در مدل سازی در جدول ۲ ارائه شده است. براساس آزمایش‌های انجام شده بر روی نمونه‌های استاندارد کششی فولاد از نوع $\Phi 18$ ، تنش تسیلیم میلگرد های طولی برابر 530 MPa و تنش نهایی آن 700 MPa بدست آمد. چنانچه ضریب $1/25$ در مقادیر تنش تسیلیم داده



شکل ۴. الگوی گسیختگی نمونه ها.

برآمده شده و سپس در دریفت ۴٪، لایه تقویت L شکل سمت راست بریده شد.

به دلیل بالا بودن خسارت اولیه در نمونه NS 3 R، ترک‌ها خیلی زود شروع به باز شدن کردند. به علاوه در دریفت ۳٪، لایه‌های تقویتی L شکل روی تیر در بارهای فشاری کمانش کردند و از روی سطح برآمده شدند (شکل ۴ ب). همچنین دور پیچ‌های روی تیر در دریفت ۴٪ کاملاً بریده شدند. نمونه NS 3 R توانست ظرفیت از دست رفته اتصال را نسبت به نمونه NS 5 دهد. نمونه NS 5 R قبل از تقویت، بیشترین سطح خسارت تا حد ۵٪ دریفت را داشت. مطابق شکل ۴ ب، نمونه NS 5 R از لحاظ ترک خودگی مشابه نمونه NS 3 R ولی باشد بیشتر بود. در دریفت ۱/۵٪ L شکل‌های تیر در مجاورت دور پیچ از روی سطح برآمده شدند که این موضوع کاهش شدید سختی نمونه را در بی داشت. سرانجام در دریفت ۴٪ L شکل‌های تیر در امتداد طولی پاره شدند. به دلیل بالا بودن خسارت اولیه در نمونه‌های NS 3 R و NS 5 R، تأثیر ورقهای FRP در رفتار نمونه‌ها، سهم بالاتری نسبت به ۲ نمونه دیگر با خسارت کمتر داشت. این موضوع در منحنی‌های هیسترسیز نمونه‌های مذکور بهوضوح قابل مشاهده است.

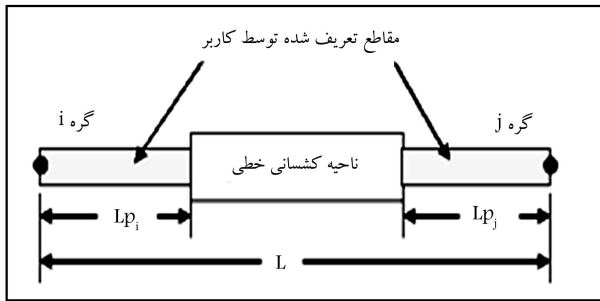
آنچه در همه نمونه‌های تقویت شده پس از آزمایش مجدد مشاهده شد، افزایش ظرفیت باربری نسبت به اتصال آسیب دیده قبل از مقاوم سازی است. همچنین انتهای ورقهای روی تیر و ستون با وجود نداشتن دور پیچ از روی سطح بتن جدا نشدند. چنانچه یک دور پیچ اضافه بر روی تیر در فاصله‌ی معادل ارتفاع تیر از دور پیچ قبلی اجرا می‌شد، می‌توانست از کمانش ورقهای L شکل جلوگیری کند. شکل ۵، نتایج مختصه ای از پوش منحنی‌های هیسترسیز نمونه‌های تقویت شده، کاهش سختی و استهلاک انرژی در نمونه‌ها را در کنار نمونه مبنا نشان می‌دهد. شکل ۵، ییانگر این است که ظرفیت باربری و استهلاک انرژی در نمونه‌های تقویت شده ای R و NS 2 R بیش از نمونه مبنا و در سایر نمونه‌های تقویت شده با خسارت اولیه زیادتر، کمتر از نمونه مبناست.

۳. معرفی مدل مصالح

جهت مدل سازی بتن در پژوهش حاضر از مدل Concrete[®] استفاده شده است که محصور شدگی به سبب وجود خاموت‌ها را براساس مدل پیشنهادی مندرج همکاران، در نظر می‌گیرد.^[۲۱] منحنی تنش - کرنش بتن در بارگذاری‌های یک طرفه در شکل ۶(الف) نشان داده شده است. همچنین برای مدل سازی آرماتورها از مدل چندخطی Hysteretic مطابق شکل ۶(ب) استفاده شده است که قابلیت ایجاد

جدول ۲. پارامترهای لازم برای مدل‌سازی رفتار مصالح فولاد و بتن.

Betta	Pinch Y	Pinch X	F_y (MPa)	$E_t(E_c/10)$	$f_t(f'_c/10)$	$E_c(4700\sqrt{f'_c})$	مقاومت فشاری (f'_c MPa)
۰,۰	۰,۵	۰,۹	۴۴۰	۲۹۱۶,۲۷	۳,۸۵	۲۹۱۶۲,۷۳	۳۸,۵ NS5
۰,۳	۱	۱	۴۴۰	۳۱۹۴,۶۲	۴,۶۲	۳۱۹۴۶,۱۷	۴۶,۲ NS1R
۰,۴	۰,۷	۱	۴۴۰	۳۰۴۵,۹۵	۴,۲۰	۳۰۴۵۹,۴۸	۴۲ NS2R
۰,۳	۰,۷	۱	۴۲۰	۱۹۳۷,۸۶	۱,۷۰	۱۹۳۷۸,۶۰	۱۷ NS3R



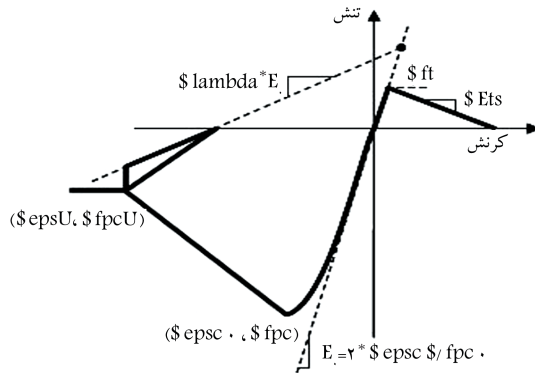
شکل ۷. المان Beam with Hinges برای اعضاء تیر و ستون.

هستند. بنابراین کرنش مؤثر ورق‌های تک‌لایه برابر 127×10^0 و دولاًیه برابر 500×10^0 منظور شده است. جهت بررسی بیشتر مقاومت پیوستگی ورق‌های FRP، مرور گستردۀ کاملی در سال ۲۰۰۴ انجام شده است.^[۱۴] به دلیل ماهیت کشسانی مصالح Elastic FRP از مدل Beam with Hinges جهت مدل‌سازی رفتار آنها استفاده شده است. مدلول کشسانی ورق‌های FRP برابر 240 GPa و ضخامت هر لایه‌ی آن 167 mm در نظر گرفته شده است. جهت مدل‌سازی اعضاء تیر و ستون از المان Beam with Hinges که نواحی خمیری انتهایی دارد، مطابق شکل ۷ استفاده شده است. استفاده از المان Beam with Hinges، امکان تعريف مفاصل خمیری را در موقعیت دلخواه و با طول دلخواه فراهم می‌سازد. مهم‌ترین مزیت المان مذکور، عدم نیاز به تعريف منحنی اندرکشن لنگر- نیروی محوری در مفصل خمیری است.

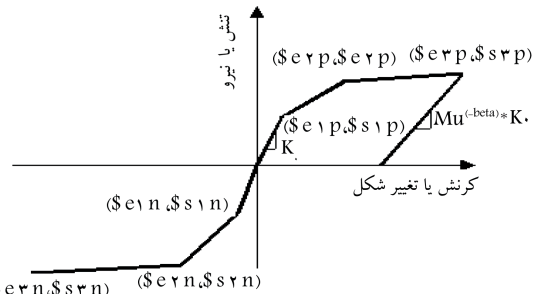
برخلاف سایر المان‌ها که حالت خمیری و نقاط انگشتگیری گوس در طول آنها گستردۀ شده است، در المان Beam with Hinges نقاط گوس در نواحی خمیری انتهایی قرار دارد. در اعضاء بتی با آرماتورهای اجدار برخلاف آنها که آرماتور بدون آچ دارند، مفصل خمیری در یک طول قابل توجه گستردۀ شده است. با مدل‌سازی اتصالات و استفاده از آزمون و خط، طول مفصل خمیری برای دو انتهای ستون‌ها 100 mm ، برای ابتدا و انتهای تیرها 400 mm و برای میانه‌ی دهانه‌ی تیرها 200 mm در نظر گرفته شده است.

۴. مدل‌سازی اتصالات تیر به ستون بتی

تحلیل غیرخطی اتصالات آزمایش شد تحت بارهای رفت و برگشتی براساس تاریخچه‌ی بارگذاری انجام شده در آزمایش برای هر نمونه‌ی اتصال انجام شد. مدل‌سازی با استفاده از مدل‌های مواد و همچنین المان‌های گفته شده صورت پذیرفت و اتصالات خارجی تیر به ستون در حالت مینا (بدون آسیب) و حالت خسارت دیده مدل‌سازی شدند. یکی از پیچیدگی‌های مدل‌سازی اتصالات آسیب دیده، به دست آوردن پارامترهای مدل‌سازی بتن ترک خورده در مفاصل خمیری شده است.



(الف) مدل ۲ concrete برای بتن



(ب) مدل Hysteretic برای فولاد

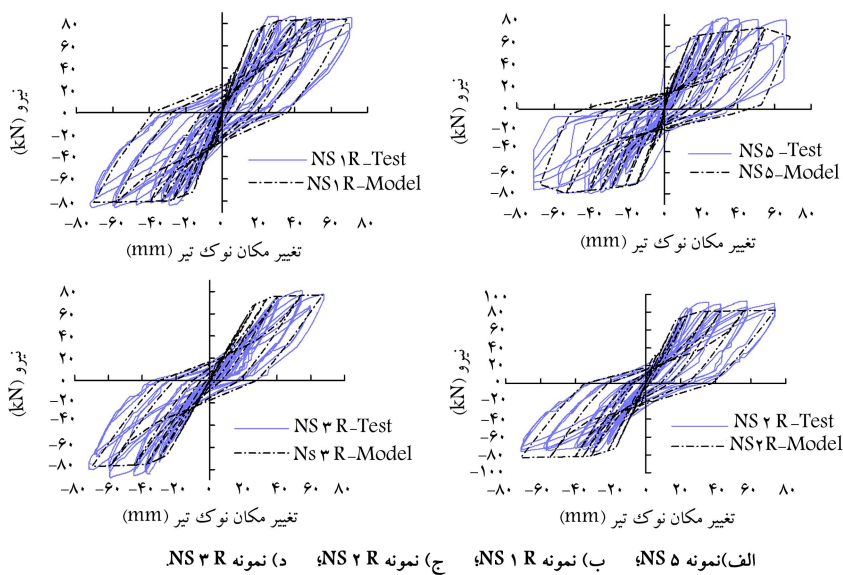
شکل ۶. انواع مدل‌های مصالح به کار رفته در مدل‌سازی

شده در جدول ۲ ضرب شود، حاصل با مقدار فوق یکسان خواهد بود. همچنین با استفاده از نتایج آزمایش، مقاومت فشاری مشخصه‌ی بتن $38,5$ حاصل شد. مقاومت فشاری بتن به دلیل محصورشدن بتن در نمونه‌های R و NS2R افزایش و به علت ترک خوردن بتن در نمونه‌ی NS3R کاهش یافته است. مقاومت فشاری بتن ترک خورده و بتن محصور شده از روی مدل کنت و پارک، به دست آمده است.^[۲۲]

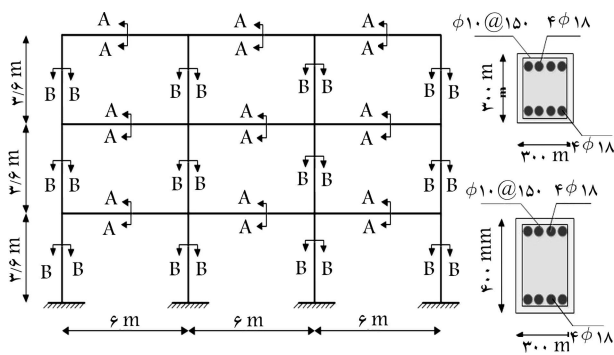
برای اعمال پدیده‌ی جدادشگی FRP از سطح بتن در تحلیل اجزاء محدود، بیشینه‌ی کرنش ورق‌های FRP بنا به توصیه‌ی آین نامه‌ی ACI ۴۴۰-۲۰۸ مشابه آنچه در برخی مطالعات^[۲۳,۲۴] پیشنهاد شده است، به مقدار کرنش مؤثر آن مطابق رابطه‌ی ۱ محدود شده است:

$$\varepsilon_{fd} = 0,41 \sqrt{\frac{f'_c}{nE_f t_f}} \leq 0,9 \varepsilon_{fu} \quad (1)$$

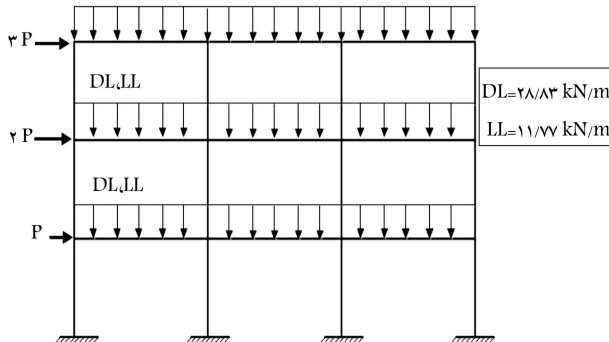
که در آن، بیشینه‌ی کرنش مجاز FRP، E_f ، t_f و n به ترتیب مدول کشسانی، ضخامت ورق‌های FRP و تعداد لایه‌های آن و همچنین ε_{fu} کرنش نهایی FRP



شکل ۸. مقایسه‌ی منحنی‌های بار- تغییر مکان نوک تیر حاصل از آزمایش و مدل‌سازی.



شکل ۹. هندسه‌ی قاب و مقاطع به‌کار رفته در مدل‌سازی.



شکل ۱۰. نحوه‌ی اعمال بارهای ثقلی (زنده و مرده) و جانبی به قاب.

و قاب‌های تقویت شده استفاده شده است: تحلیل بازارفون بر روی قاب مبنا بر بررسی سطوح عملکرد مفاصل خمیری و تحلیل تاریخچه‌ی زمانی تحت شتاب پایه‌ی زلزله‌ی الستترو برای بررسی رفتار پس از خسارت قاب‌های تقویت شده و محاسبه‌ی شاخص خسارت پارک و انگ استفاده شدند. مقطع اعضاء تیر و ستون در قاب مذکور، مشابه مقاطع تیر و ستون در اتصالات آزمایش شده انتخاب شده است، تا بتوان به خوبی از نتایج مدل‌سازی اتصالات استفاده کرد. شکل ۱۰، نحوه‌ی اعمال بارهای ثقلی و جانبی را نشان می‌دهد. بار زنده به شدت $11/77 \text{ KN/m}$

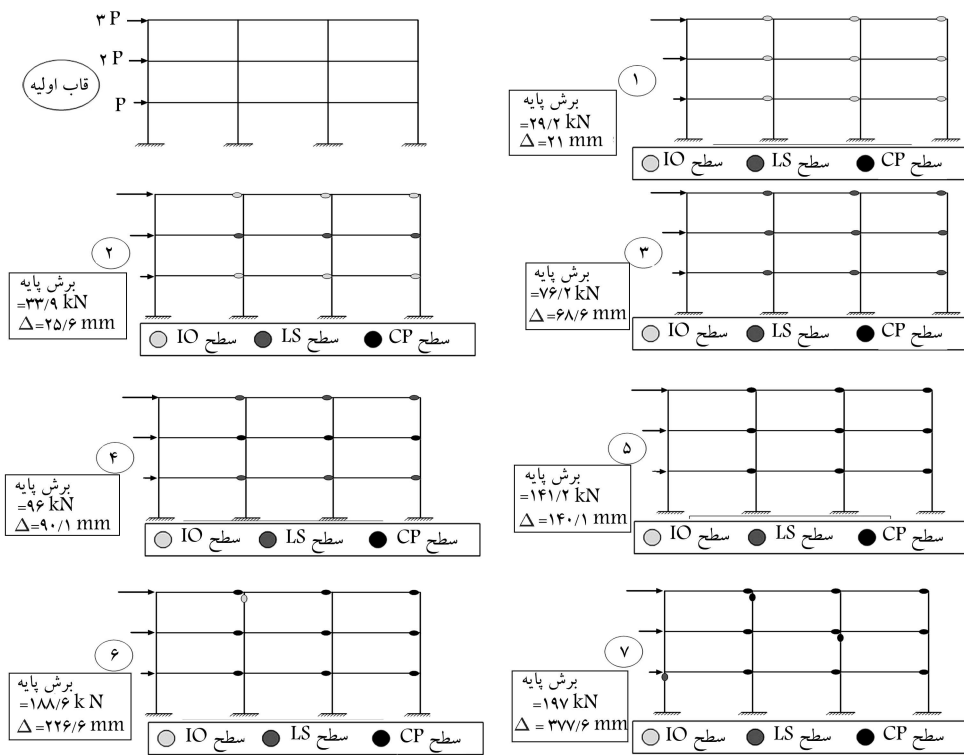
اتهایی پس از ایجاد خسارت اولیه است. در پژوهش حاضر، جهت محاسبه‌ی مقاومت فشاری بتن هسته‌ی اتصال از مدل ساختاری کفت و پارک، استفاده شده است.^[۲۱]

۱.۴. مدل‌سازی اتصالات

مدل‌سازی اتصالات تیر به ستون آزمایش شده براساس مشخصات مصالح که قبل از مطابق جدول ۲ ارائه شده است، انجام شد. جهت تطبیق بهتر نتایج مدل‌سازی با آزمایش، جهت درنظرگرفتن اثر ترک خودگکی اعضاء تیر و ستون ضرایب کاهش ممان ایزولسی مقاطع تیر و ستون بر طبق مبحث نهم مقررات ملی ساختمان،^[۲۵] به ترتیب برابر $5/۰$ و $7/۰$ اعمال شد. نتایج مدل‌سازی اتصالات دو بعدی تیر به ستون بتئی در شکل ۸ مشاهده می‌شود. لازم به ذکر است، به دلیل سهم محیث کنندۀ ورقه‌های FRP در دو نمونه‌ی با خسارت بالا، رفتار آزمایشگاهی و تحلیلی آن دو بسیار شبیه هم بوده است. به همین دلیل فقط به بیان نتایج نمونه‌ی NS3R اکتفا شده است. مطابق شکل ۸، نتایج مدل‌سازی اتصالات هم‌خوانی بسیار خوبی با نتایج حاصل از آزمایش دارد. دقت روش در زمینه‌ی پیش‌بینی طرفیت باربری، سختی بارگذاری و باربرداری و نیز سطح داخل منحنی‌ها کاملاً مشخص است. لذا می‌توان از مدل مربوط به اتصال NS5 برای نواحی بدون ترک و از مدل‌های مربوط به اتصالات ۱R، NS2R، NS3R، NS5 و NS2R جهت مدل‌سازی مفاصل خمیری به ترتیب در محدوده‌ی سطوح عملکرد CP، LS، IO و CP استفاده کرد.

۵. بررسی سطوح عملکرد یک قاب دو بعدی

۱.۵. هندسه‌ی مدل و نحوه‌ی بارگذاری
پس از اینکه مدل ارائه شده در مقایس اتصال خارجی تیر به ستون با نتایج حاصل از آزمایش تأیید شد، یک قاب دو بعدی ۳ طبقه به عنوان سازه‌ی مبنا در محیط نرم افزار OpenSees مدل‌سازی و تحلیل شد. قاب نشان داده شده در شکل ۹، شامل ۳ دهانه به طول 6 m و 3 طبقه هر کدام به ارتفاع $3/6 \text{ m}$ است. این قاب در مطالعات قبارا،^[۲۶] جهت اعمال اندیس خسارت پیشنهادی ارائه شده است. در پژوهش حاضر، از دو نوع بارگذاری جانبی برای مقایسه‌ی قاب مبنا بدون تقویت



شکل ۱۱. روند تشکیل مفاصل خمیری در قاب مبنا در تحلیل با رافزون.

خاک نوع III با بیشینه‌ی شتاب $3g$ در منطقه‌ی با خطر لرزه‌خیزی زیاد استفاده شد. با درنظر گرفتن بارهای زنده و مرده‌ی نشان داده شده در شکل ۱۰ و نیز با احتساب ضریب مشارکت بار زنده برابر $2/0$ ، جرم مؤثر طبقه در هر دهانه قابل محاسبه است. جرم هر طبقه به صورت متمرکز در کره‌های ابتدا، وسط و انتهای تیرها قرار گرفت. با اعمال شتاب پایه‌ی زلزله‌ای الستترو به قاب دو بعدی و برداشت خروجی تغییر مکان جانبی بام، مطابق شکل ۱۲ (الف تا ز) است.

به طور کلی، ایجاد خسارت اولیه در سازه‌ها سبب کاهش مقاومت، سختی و ظرفیت استهلاک ارزی می‌شود. از این رو تقویت اتصالات آسیب‌دیده در سازه‌ها توسط سیستم FRP تا حد مشخصی توانایی جبران خسارت‌های واردۀ را داشته است و پس از تراز مذکور، پارامترهای یاد شده قابل بازنگشتن به سازه نیستند. از این رو چنان‌که در شکل ۵ ارائه شده است، بدليل کاهش سختی و ظرفیت استهلاک ارزی در اتصالات با خسارت اولیه‌ی بالاتر از دریفت $1/5$ % و بدیال آن کاهش قابل توجه سختی و استهلاک ارزی سازه، رفتار نرم‌تری از سازه قابل انتظار است که نتیجه‌ی آن افزایش دوره‌ی تناوب سازه است. لذا با توجه به شکل ۵، پاسخ سازه‌های تقویت شده بیش از سازه‌ی مبناً بدون تقویت است.

جدول ۳، میانگین جذر مجموع مرباعات (RMS) پاسخ قاب‌ها، بیشینه‌ی پاسخ و دوره‌ی تناوب مود اول طبقه‌ی بام را در سطوح مختلف خسارت به همراه درصد اختلاف آن با پاسخ قاب مبنا نشان می‌دهد. همچنین جدول مذکور نشان می‌دهد چنانچه کمتر از 10% اختلاف بین RMS پاسخ‌ها، بیشینه‌ی پاسخ و دوره‌ی تناوب مود اول قاب‌های تقویت شده نسبت به قاب مبنا مجاز باشد، تراز آسیب ۴ (Level ۴) آخرین ترازی است که از آن پس سیستم تقویت نتوانسته است تغییر مکان‌ها را در محدوده‌ی قاب مبنا حفظ کند. این امر گویای این نکته است که تراز آسیب ۴ معادل دریفت طبقه‌ی $10/3\%$ آخرین سطح آسیب ترمیم‌پذیر توسط سیستم تقویت است.

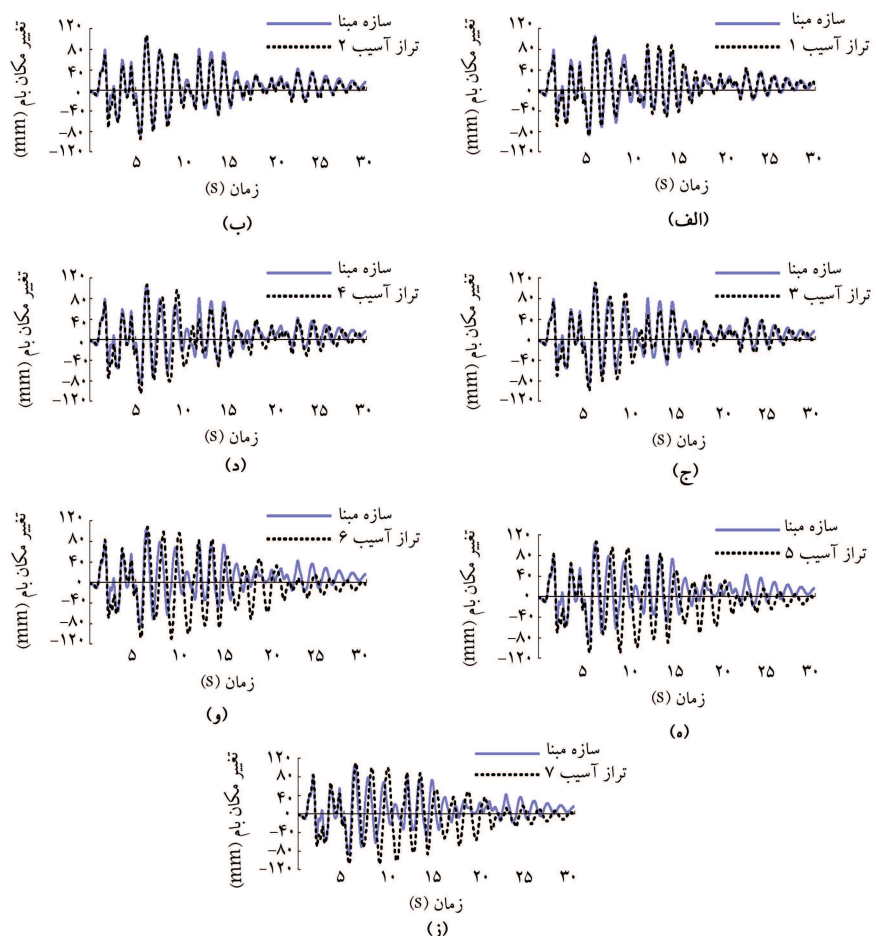
با توجه به مطالب ارائه شده می‌توان نتیجه گرفت که سطح ترمیم‌پذیر در سازه‌های

و بار مرده به شدت $28/83 \text{ KN/m}$ روی تیرها وارد شدند. همچنین بار جانبی در تحلیل با رافزون بر طبق الگوی مثلثی به طبقات وارد شد.

۲.۵. بررسی سطح عملکرد سازه‌ی توسط تحلیل با رافزون
 با انجام تحلیل با رافزون تا دریفت 4% بر روی قاب مبنا، دوران خمیری در انتهای تیرها و سطون‌های قاب بدست آمدند و مفاصل خمیری با توجه به آینه‌نامه‌ی FEMA-۳۵۶ مشخص شدند.^[۱۹] روند تشکیل مفاصل خمیری و وضعیت قرارگیری آنها بر روی سازه به همراه برش پایه و تغییر مکان بام در شکل ۱۱ نشان داده شده است. مطابق شکل ۱۱، پس از شناسایی روند تشکیل مفاصل خمیری، سازه‌های آسیب دیده در ۷ تراز مختلف جهت انجام مقاوم سازی دسته‌بندی شدند (Level ۱ تا Level ۷). این ۷ تراز طوری انتخاب شدند که در هر کدام نسبت به تراز قبل، مفاصل خمیری جدید با سطح عملکرد پایین‌تر در قاب موجود آید. هر کدام از سطوح ۷ گانه‌ی مذکور، بیانگر وضعیت اولیه‌ی سازه‌ی سازه‌ی آسیب‌دیده قبل از مقاوم سازی است. مقاوم سازی مفاصل خمیری براساس سطح عملکرد آنها انجام شد. بدین معنی که براساس خسارت هر عضو تیر یا سطون در هر سطح عملکرد (CP, LS, IO) در هر مرحله از باگذاری، با توجه به اتصالات آزمایشگاهی، تقویت توسط در سطوح هفت گانه انجام شد و سازه‌های تقویت شده مجدداً تحلیل با رافزون شدند. لازم به ذکر است که جهت وارد کردن اثر دوطرفه بودن نیروهای زلزله، مفاصل خمیری در شکل ۱۱ به صورت قرینه نمایش داده شده‌اند.

۶. تحلیل دینامیکی تاریخچه‌ی زمانی قاب دو بعدی

برای انجام تحلیل دینامیکی تاریخچه‌ی زمانی از شتاب پایه‌ی زلزله‌ای الستترو برای



شکل ۱۲. تاریخچه‌ی پاسخ قاب‌ها تحت اثر شتاب پایه‌ی زلزله‌ی الستترو.

جدول ۳. مقایسه‌ی پاسخ قاب‌ها در سطوح مختلف خسارت هفتگانه.

شناسه‌ی قاب	RMS پاسخ‌ها		
	دوره‌ی تناب مود اول طبقه‌ی بام (s)	بیشینه‌ی پاسخ بام (mm)	
	درصد اختلاف با سازه‌ی مبنا	درصد اختلاف با سازه‌ی مبنا	درصد اختلاف با سازه‌ی مبنا
سازه‌ی مبنا	-	۱,۴۹	-
Level ۱	-۴	۱,۴۳	۰,۳۶
Level ۲	۰,۶۷	۱,۵۰	۲,۶۱
Level ۳	۴,۶۹	۱,۵۶	۵,۵۹
Level ۴	۶,۷۱	۱,۵۹	۱,۷۱
Level ۵	۱۴,۰۹	۱,۷۱	۱,۹۰
Level ۶	۱۵,۴۳	۱,۷۲	۲,۹۶
Level ۷	۱۶,۱۱	۱,۷۳	۵,۲۶

جدول ۴. مقایسه‌ی شاخص خسارت قاب‌های تقویت شده و قاب مینا تحت شتاب پایه‌ی زلزله‌ی الستترو.

شاخص خسارت پارک و انگ.								نوع قاب
Level ۷	Level ۶	Level ۵	Level ۴	Level ۳	Level ۲	Level ۱	قاب مینا	
۰,۷۵	۰,۷۵	۰,۷۷	۰,۵۸	۰,۵۶	۰,۶	۰,۶۱	۰,۷۵	طبقه‌ی اول
۰,۹۴	۰,۹۶	۰,۹۶	۰,۷۱	۰,۶۱	۰,۵۲	۰,۶۴	۰,۷۱	طبقه‌ی دوم
۰,۶۵	۰,۶۹	۰,۷	۰,۵۱	۰,۴۹	۰,۴۸	۰,۴۶	۰,۵۱	طبقه‌ی سوم
۰,۸۱	۰,۸۳	۰,۸۳	۰,۶۱	۰,۵۶	۰,۵۴	۰,۵۸	۰,۶۸	شاخص خسارت
								کل قاب

$$DI_{Story} = \frac{\sum DI_i E_i}{\sum E_i} \quad (3)$$

که در آن، DI_{Story} شاخص خسارت طبقه، DI_i شاخص خسارت عضو i و E_i مجموع انرژی مستهلك شده در عضو i است.

مطابق جدول ۴، تقویت اتصالات آسیب‌دیده تا تراز آسیب ۴ (منطقی با دریفت طبقه‌ی ۱/۰۳٪) سبب کاهش اندیس خسارت پارک وانگ در کل قاب شده است، چرا که پس از عبور از دریفت ۳/۰٪، اندیس خسارت قاب آسیب دیده بیش از قاب در حالت مبنای است، که این به روشنی گویای ترمیم‌ناپذیر بودن قاب پس از سطح آسیب مذکور است.

۸. نتیجه‌گیری

در بخش ارائه‌ی نتایج آزمایش، کاهش ظرفیت باربری، سختی و استهلاک انرژی اتصالات در خسارت‌های بالاتر از ۱/۵٪ نشان داده شده است. سپس با درنظر گرفتن اثرات کاهش سختی باربرداری / بارگذاری مجدد و افت سطح انرژی مستهلك شده در آرماتورهای فولادی و نیز اثرات ترک خوردگی تن آسیب دیده اتصال در مدل سازی اتصالات آزمایش شده، دقت مناسب مدل سازی نسبت به نتایج حاصل از آزمایش نشان داده شده است. در ادامه، تحلیل با رافزون و تاریخچه زمانی یک قاب ۳ طبقه نشان داد که سطح ترمیم‌پذیر در سازه‌های قابی زمانی است که تیرها در آستانه‌ی فروزیش قرار گیرند (شروع ناحیه‌ی CP) و هیچ ستونی از مرحله‌ی قابلیت استفاده‌ی بی‌وقفه (IO) فراتر نرود. بررسی رفتار دینامیکی قاب‌ها پس از مقاوم سازی و مقایسه‌ی شاخص خسارت قاب‌ها نتیجه می‌شود که در قاب خیشی بررسی شده در نوشتار حاضر، مقاوم سازی با استفاده از روش تقویت خارجی توسط ورقه‌های FRP توانایی جبران ظرفیت و شکل‌پذیری سازه‌ی آسیب دیده را تا دریفت ۳/۰٪ دارد. با استفاده از روش مذکور می‌توان سطح ترمیم‌پذیر را در سازه‌های سه بعدی با ارتقای های مختلف مطالعه کرد.

قابی زمانی است که تیرها در آستانه‌ی فروزیش (CP) قرار گیرند و در ضمن، هیچ ستونی از مرحله‌ی قابلیت استفاده‌ی بی‌وقفه (IO) فراتر نرود. از این لحظه به بعد، سیستم تقویت خارجی توسط ورقه‌های FRP دیگر جواب‌گو نخواهد بود.

۷. شاخص خسارت

پرکاربردترین شاخص خسارت توسط پارک و انگ،^[۲۷] مطابق رابطه‌ی ۲ معروفی شده است که در آن به عنوان یک شاخص ترکیبی تغییر مکان غیرکشسان و انرژی مستهلك شده به صورت خطی با هم ترکیب می‌شوند:

$$DI_{PA} = \frac{\delta_m - \delta_y}{\delta_f - \delta_y} + \beta \frac{\int dE}{F_y \delta_f} \quad (2)$$

که در آن، δ_m بیشینه‌ی تغییر مکان در هر چرخه، δ_y تغییر مکان بیشینه در بارگذاری یک طرفه، δ_f تغییر مکان در لحظه‌ی جاری شدن، $\int dE$ مجموع انرژی مستهلك شده و F_y ظرفیت جاری شدگی نمونه است. همچنین پارامتر بدون بعد β به عنوان ضریب کالیبراسیون مدل (در اینجا مساوی ۱۵٪) پکار می‌رود. شاخص DI_{PA} بزرگ‌تر از ۱، نشان دهنده‌ی تخریب کامل عضو، کمتر از ۰، نشان دهنده‌ی قابل تعمیر بودن عضو و DI_{PA} کمتر از ۲/۰ می‌بین آسیب ناچیز در عضو است. چنانچه تحت شتاب پایه‌ی زلزله، اندیس خسارت پارک و انگ در تمام مفاصل خمیری به دست آید، از روی میانگین‌گیری وزنی در هر طبقه برابر میزان انرژی مستهلك شده در هر عضو مطابق رابطه‌ی ۳ می‌توان اندیس خسارت طبقه و از روی آن اندیس خسارت کلی سازه را به دست آورد. این کار برای تمام حالات هفت گانه‌ی نشان داده شده در شکل ۱۱ با رعایت تقارن در موقعیت مفاصل خمیری انجام و با قاب مینا مقایسه شده است، که نتایج در جدول ۴ قابل مشاهده است.

منابع (References)

- Barbato, M. "Efficient finite element modelling of reinforced concrete beams retrofitted with fibre reinforced polymers", *Computers & Structures*, **87**(3), pp. 167-176 (2009).
- Karbhari, V.M. and Niu, H. "FE investigation of material and preload parameters on FRP strengthening performance of RC beams II: Results", *Journal of Reinforced Plastics and Composites*, **27**(12), pp. 1245-1267 (2007).
- Malek, A.M., Saadatmanesh, H. and Ehsani, M.R. "Pre-

- diction of failure load of R/C beams strengthened with FRP plate due to stress concentration at the plate”, *ACI Structural Journal*, **95**(2) (1998).
4. Niu, H. and V.M. Karbhari, “FE investigation of material and preload parameters on FRP strengthening performance of RC beams, I: Model development”, *Journal of Reinforced Plastics and Composites*, **27**(5), pp. 507-522 (2008).
 5. Pesic, N. and Pilakoutas, K. “Concrete beams with externally bonded flexural FRP-reinforcement: Analytical investigation of debonding failure”, *Composites Part B: Engineering*, **34**(4), pp. 327-33 (2003).
 6. Rabinovich, O. and Frostig, Y. “Closed-form high-order analysis of RC beams strengthened with FRP strips”, *Journal of Composites for Construction*, **4**(2), pp. 65-74 (2000).
 7. Teng, J. and et al. “Intermediate crack-induced debonding in RC beams and slabs”, *Construction and Building Materials*, **17**(6), pp. 447-462 (2003).
 8. Yang, Z., Chen, J. and Proverbs, D. “Finite element modelling of concrete cover separation failure in FRP plated RC beams”, *Construction and Building Materials*, **17**(1), pp. 3-13 (2003).
 9. Parvin, A. and Granata, P. “Numerical study of structural joints reinforced with composite fabrics”, *Structures and Materials*, **21**, pp. 411-421 (1998).
 10. Mostofinejad, D. and Talaeitaba, S. “Finite element modeling of RC connections strengthened with FRP laminates”, *Iranian Journal of Science and Technology, Transaction B, Engineering*, **30**(B1), pp. 21-30 (2006).
 11. Sattarifard, A. and Sharbatdar, M.K. “Experimental study on strengthening of RC connections with FRP sheets by embedding surface grooves”, *Sharif Journal of Civil Engineering*, **31**(2), pp. 41-50 (2015).
 12. Antonopoulos, C.P. and Triantafillou, T.C. “Experimental investigation of FRP-strengthened RC beam-column joints”, *Journal of Composites for Construction*, **7**(1), pp. 39-49 (2003).
 13. Garcia, R. and et al. “Seismic strengthening of severely damaged beam-column RC joints using CFRP”, *Journal of Composites for Construction*, **18**(2), pp. 04013048 (2013).
 14. Mahini, S.S. and Ronagh, H.R. “Web-bonded FRPs for relocation of plastic hinges away from the column face in exterior RC joints”, *Composite Structures*, **93**(10), pp. 2460-2472 (2011).
 15. Realfonzo, R., Napoli, A. and Pinilla, J.G.R. “Cyclic behavior of RC beam-column joints strengthened with FRP systems”, *Construction and Building Materials*, **54**, pp. 282-297 (2014).
 16. Tsosios, A.G. “Effectiveness of CFRP-jackets and RC-jackets in post-earthquake and pre-earthquake retrofitting of beam-column subassemblages”, *Engineering Structures*, **30**(3), pp. 777-793 (2008).
 17. Zamani B.E. and Shariatmadar, H. “Strengthening and rehabilitation of exterior RC beam-column joints using carbon-FRP jacketing”, *Materials and Structures*, **49**(6), pp. (2016).
 18. ACI440.2R-08, “Guide for the design and construction of externally bonded FRP system for strengthening concrete structures”, Michigan (USA) (2008).
 19. FEMA356, “Prestandard and commentary for the seismic rehabilitation of buildings: Rehabilitation requirement S.” American Society of Civil Engineers Washington, DC (2000).
 20. Instruction for Seismic Rehabilitation of Existing Buildings, NO. 360, “Management and planning organization, office of deputy for technical affairs, technical criteria codification & earthquake risk”, Tehran, Iran (2007).
 21. Mander, J.B., Priestley, M.J. and Park, R. “Theoretical stress-strain model for confined concrete”, *Journal of Structural Engineering*, **114**(8), pp. 1804-1826 (1988).
 22. Kent, D.C. and Park, R. “Flexural members with confined concrete”, *Journal of the Structural Division*, **97**(7), pp. 1969-1990 (1971).
 23. Chen, J. and Teng, J. “Anchorage strength models for FRP and steel plates bonded to concrete”, *Journal of Structural Engineering*, **127**(7), pp. 784-791 (2001).
 24. Sayed-Ahmed, E., Bakay, R. and Shrive, N. “Bond strength of FRP laminates to concrete: State-of-the-art review”, *Electronic Journal of Structural Engineering*, **9**, pp. 45-61 (2009).
 25. *Design and Construction of Concrete Structures*, Iranian National Building Code, Part 9 (2010).
 26. Ghobarah, A., Abou-Elfath, H. and Biddah, A. “Response-based damage assessment of structures”, *Earthquake Engineering & Structural Dynamics*, **28**(1), pp. 79-104 (1999).
 27. Park, Y.-J. and Ang, A.H.-S. “Mechanistic seismic damage model for reinforced concrete”, *Journal of Structural Engineering*, **111**(4), pp. 722-739 (1985).